

# STUDIUM PLAZMOVĚ NANESENÉ VRSTVY $\text{ZrSiO}_4$ POMOCÍ TRANSMISNÍ ELEKTRONOVÉ MIKROSKOPIE

PAVEL RAUS, PAVEL CHRÁSKA

*Ústav fyziky plazmatu ČSAV, Pod vodárenskou věží 4, 182 11 Praha 8*

Došlo 7. 10. 1988

*TEM ukázalo, že rychlosť tuhnutí plazmově nanesené vrstvy se mění v širokých mezích (i uvnitř jedné ztuhlé kapky, tzv. rozstřiku) v závislosti na lokálních podmínkách odvodu tepla. Výsledkem různých mechanismů odvodu tepla je několik typů mikrostruktur složených z amorfního  $\text{SiO}_2$  a z mikrokryštatických a kryštatických oblastí všech tří modifikací  $\text{ZrO}_2$ . V mikrokryštatické podobě (velikost krystalů řádově 10—100 nm) se nevyskytuje monoklinická fáze  $\text{ZrO}_2$ .*

## ÚVOD

Plazmově nanášené nástříky nalézají dnes široké uplatnění v řadě odvětví — od vytváření tepelných bariér přes ochranné antikorozní povlaky po tvorbu povlaků se speciálními vlastnostmi (tvrdost; korozní odolnost) — viz např. [1 — 3], a je proto třeba intenzivně studovat jednotlivé dílčí procesy a mechanismy, které se uplatňují při jejich vytváření. Jednou z důležitých a stále otevřených otázek je tvorba amorfních nebo mikrokryštatických (řádově 0,01 až 0,1  $\mu\text{m}$ ) fází v nástříku, které díky svým výhodným vlastnostem by mohly do značné míry ovlivnit výsledné užitné vlastnosti povlaků.

Vznik amorfních fází v případě plazmových nástříků podporuje především přímý odvod tepla z málohmotných částic nástříkového materiálu do hmotné podložky. Lze očekávat, že v určitých oblastech nástříku bude dosaženo kritických hodnot rychlosti ochlazování, nutných pro tvorbu amorfních fází — pro  $\text{SiO}_2$  je to  $1—10 \text{ Ks}^{-1}$ , pro  $\text{ZrO}_2 10^4—10^5 \text{ Ks}^{-1}$  [4]. V případě vrstev vytvářených z nástříkového materiálu  $\text{ZrSiO}_4$  vznikají navíc v nástříku dvě základní fáze —  $\text{ZrO}_2$  a  $\text{SiO}_2$  [5], přičemž zvláště oxid křemičitý je silně náchylný k vytváření skelné fáze [6, 7]. Amorfní fáze v plazmově nanesených vrstvách  $\text{AlNi}$ ,  $\text{TiO}_2$  a  $\text{ZrSiO}_4$  byla již detekována elektronovou difracíí v námi provedených orientačních studiích [8] a její přítomnost dokumentují i další autoři, např. [9].

Naproti témuž skutečnostem, které vznik amorfní fáze podporují, stojí na druhé straně alespoň dva nepríznivé faktory dané podstatou použité technologie: 1. ne všechny částice nanášeného materiálu jsou plně nataveny. 2. Značná porozita nástříků, vytvářených za atmosférického tlaku, výrazně mění podmínky přestupu tepla. V této souvislosti je důležité zjištění, že první vrstva nástříku obvykle obsahuje minimální množství nenatavených částic; McPherson [10] ukazuje na velkou pravděpodobnost odrazu těchto částic od povrchu podložky. Rychlosť přestupu tepla z prvních, dobře natavených částic, dopadlých na podložku, bude pak představovat zřejmě limitní hodnotu pro daný systém nástřík/podložka. U dalších vrstev bude přestup tepla omezen jednak porozitou, jednak případnými nedokonale roztavenými částicemi zachycenými v předchozí vrstvě a popř. i menší tepelnou vodivostí předchozích vrstev ve srovnání s podložkou (především u keramických materiálů zirkonového typu na kovové podložce). Z tohoto hlediska nejpravděpodobnějším místem výskytu amorfní fáze bude první vrstva naneseného materiálu.

Mikrostruktura plazmově nanesených povlaků byla již předmětem studia řady autorů, např. [11–14]. První vrstvu nástřiku podrobně popisují Safai a Herman [15] s těmito závěry:

1. Mikrostruktura jednoho rozstřiku v první vrstvě je tvořena v případě kovů válekovými zrny a menšími protáhlými zrny, vzniklými procesem nukleace a růstu, v případě oxidických nástřiků.

2. Se vzrůstající vzdáleností od podkladu do objemu nástřiku se protáhlý tvar mění v nepravidelný tvar s náhodnou orientací.

3. Ideální tvar rozstřiku v první vrstvě se skládá z jádra a okraje, přičemž se předpokládá, že a) teplo z jádra je odvedeno přímo do podkladu; b) teplo z okraje přestupuje přes již ztuhlé jádro a ne přímo přes rozhraní okraj rozstřiku/podložka. Tyto závěry ukazují, že se liší mechanismy odvodu tepla a tuhnutí první a dalších nástříkaných vrstev.

Studium první vrstvy nástřiku je konečně důležité i s ohledem na soudržnost nástřiku s podložkou. Předložená práce představuje první výsledky podrobného studia první a několika následujících vrstev v nástřiku ZrSiO<sub>4</sub>. Jsou uvedeny výsledky transmisní elektronové mikroskopie tenké fólie z příčného řezu plazmově nanesená vrstva/podložka. Předmětem sledování byl výskyt amorfní fáze, popis mikrostruktury a z něj odvozené některé úvahy o způsobu odvodu tepla při tuhnutí.

## EXPERIMENTÁLNÍ ÚDAJE

Vrstva ZrSiO<sub>4</sub> byla nanesena vodou stabilizovaným plazmovým hořákem PAL 160-2 o výkonu 160 kW (500 A, 320 V) za atmosférického tlaku na nízkouhlíkovou ocel ČSN 11373, která byla předtím otryskána korundem. Tloušťka ocelového plechu byla 1,09 mm. Tloušťka nanesené vrstvy se pohybovala okolo 280 μm.

Z destičky s nástříkanou vrstvou byly odděleny dva vzorky o rozměrech 5 × 7 mm, které byly přiloženy nástříkanými vrstvami k sobě, slepeny a pořízen výbrus. Z výbrusu pak byla iontovým bombardováním, postupem popsaným v [16], připravena tenká fólie pro transmisní elektronovou mikroskopii. Fázové složení nástřiku bylo kontrolováno pomocí rentgenové difrakce na difraktometru Siemens D-500.

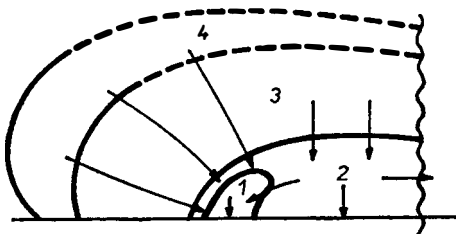
## VÝSLEDKY

Na obrázku 1, 3 a 5 jsou typické snímky jemnozrnné mikrostruktury plazmově naneseného nástřiku z výchozího prášku ZrSiO<sub>4</sub>. Jedná se o části jednotlivých kapek, které budeme dále nazývat „rozstřík“ (v anglické literatuře „splat“). Rozstřík na obr. 1 je z první vrstvy dopadlé na podložku; obr. 3 zachycuje rozstřík z další vrstvy, dopadlé již na předchozí vrstvu nástříku.

Z obrázku 1 je zřejmé, že velikost zrn v nástříkaném materiálu ani jejich tvar není homogenní v celém objemu nástřiku, ale systematicky se mění. Nejjemnější jsou zrna na rozhraní rozstřík/podložka, která směrem do rozstříku výrazně rostou. Současně se mění i jejich morfologie — zrna se postupně protahují ve směru zhruba kolmém na rozhraní s podložkou.

Mikrostrukturní typy, rozlišené na obr. 1, jsou na schematickém obrázku 2 označeny čísly 1—4. V oblasti 1 jsou zrna velice malá, spíše rovnoosá s poměrně rovnoměrnou velikostí v rozmezí 25—50 nm. Zrna v oblasti 2 jsou již zhruba dvakrát

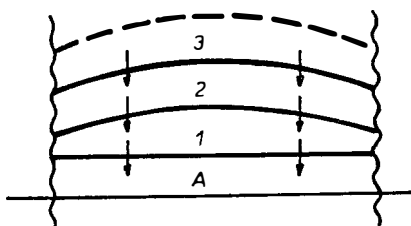
větší (50—100 nm) a některá jsou mírně protáhlá. V oblasti 3 je možno rozlišit dva typy mikrostruktury: na levé straně to jsou nerovnoosá zrna (50—75 nm krát 100—150 nm) uspořádaná do pásů, které přednostně míří k oblasti 1. Tyto pásky



Obr. 2. Schematické znázornění různých strukturních oblastí a pravděpodobných směrů odvodu tepla z rozstřiku na obr. 1 (význam číselného značení viz text).

jsou od sebe odděleny pásky jiné fáze, širokými několik desítek nm. Na pravé straně snímku jsou to zrna o podobné velikosti (100—150 krát 150 nm), která však nejsou tak zřetelně uspořádána do pásů. Konečně zcela vlevo je oblast 4, která představuje poměrně velký útvar podél okraje rozstřiku bez zřetelně rozeznatelných hranic jednotlivých zrn.

Rozstřík na obr. 1 lze označit jako nesymetrický, zatímco na obr. 3 je dokumentován jiný typ rozstřiku, který je symetrický podél osy kolmé na rozhraní. Kromě oblastí s měnlivou velikostí zrn, podobných jako v předchozím případě, je nejblíže podkladu souvislá oblast, v níž nebyly při použitém zvětšení pozorovatelné hranice zrn. Na schematickém obrázku tohoto rozstřiku (obr. 4) je označena jako



Obr. 4. Schematické znázornění různých strukturních oblastí a pravděpodobných směrů odvodu tepla z rozstřiku na obr. 3 (význam číselného značení viz text).

oblast A. Teprve na ni navazují další oblasti 1 až 3 s postupně se zvětšující velikostí zrn (25krát 50 nm až cca 150krát 200 nm). Na elektronovém difraktogramu příslušném k tomuto rozstříku jsou především polykrystalické kroužky od jemnozrnné krystalické struktury s nevýraznými difúzními kroužky od amorfní struktury. To znamená, že i oblast A je tvořena pravděpodobně jemnozrnou krystalickou strukturou.

Konečně poslední pozorovaný typ mikrostruktury rozstříků je dokumentován na obr. 5. V amorfní matrici jedné fáze jsou zde různě pootočené nepatrné krystalické oblasti. Difrákční polykrystalické kroužky jsou téměř spojité (obr. 5b), což naznačuje, že jednotlivé zkrytalizované oblasti jsou velice malé. Celá mikrostruktur

tura a příslušný difraktogram připomíná mikrostrukturu žíhaných amorfních kovových skel se začínající krystalizací [17].

Fázové složení jednotlivých vzorků bylo určováno z příslušných elektronových difraktogramů a fázové složení celé nastříkané vrstvy, jejíž části bylo použito pro přípravu fólie pro TEM, bylo kontrolováno pomocí rentgenové fázové analýzy. V rozstřících studovaných TEM nebyla nikde detekována monokrystalická modifikace  $ZrO_2$  a rozlišení mezi kubickou a tetragonální formou se vždy jednoznačně nepodařilo. To platí jak pro případ obr. 3b, tak pro obr. 5b. Na difraktogramu 1b ze struktury na obr. 1a byly zřetelně zachyceny difúzní kroužky od amorfní fáze a několik bodů od krystalické fáze. Ačkoliv se je nepodařilo jednoznačně určit, je zcela zřejmé, že se nejedná o krystalizaci amorfní fáze, ale o krystaly fáze jiné, protože žádný z bodů na difraktogramu neleží na difúzním kroužku. Rentgenová difrakce z většího objemu nástříku dovolila zachytit všechny přítomné fáze, jejichž objemový podíl byl alespoň 2–3 %. V nástříku byly takto identifikovány všechny tři modifikace  $ZrO_2$  — kubická (k), tetragonální (t) i monoklinická (m), navíc bylo pozorováno spojité zvýšení pozadí na počátku spektra, které odpovídalo přítomnosti amorfní fáze  $SiO_2$ .

Při popisu získaných mikrostruktur je třeba se konečně zmínit i o řadě pozorovaných mikrotrhlinek. Například jen na obr. 1 jsou šípkami označeny tři. Směr všech tří probíhá kolmo na pásy tvořené po sobě jdoucími protáhlými zrny. Jejich šířka se pohybuje od 10 do 50 nm a délka dosahuje až 1  $\mu m$ . Trhlinky probíhají téměř výhradně po hranicích mezi jednotlivými zrny. Pokud naproti hranici dvou zrn stojí v následujícím pásu plné zrno, šíření trhlinky se ve všech třech případech zastavilo. Další typ mikrotrhlinky můžeme pozorovat na obr. 3. Směr, kterým probíhá, je na rozdíl od předchozích případů rovnoběžný s osou „rozstřiku“.

## DISKUSE

Difraktogram na obr. 1b dokumentuje přítomnost amorfní fáze spolu s krystalickou fází. Difrakční obrazec ze struktury na obr. 3 již obsahuje spíše kroužky z diskrétních bodů. Typické polykrystalické kroužky a nevýrazné difúzní kroužky jsou zachyceny na difraktogramu 5b. Rychlosť tuhnutí se tedy musí pohybovat ve velmi širokém intervalu několika rádů až po kritickou rychlosť pro tvorbu amorfních fází. Je zřejmé, že jedním z faktorů ovlivňujících rychlosť ochlazování, je dokonalošť styku rozstřiku s podložkou — amorfní fáze byla podle předpokladu nalezena především v prvních vrstvách, v blízkosti rozhraní rozstřík/podložka (obr. 1), kde je kontakt s podkladem nejlepší, a tím i odvod tepla nejrychlejší. V rozstřiku z další vrstvy nástříku (např. obr. 3) větší množství amorfní fáze nebylo zjištěno. Dalšími faktory ovlivňujícími rychlosť ochlazování bude např. i stupeň natavení častic, chemický stav povrchu podložky, teplota podkladu v místě dopadu, rychlosť dopadu apod. [18].

Přesto, že se v některých případech nepodařilo experimentálně jednoznačně rozlišit přítomné fáze (především *k* a *t-ZrO<sub>2</sub>*) a přiřadit je k jednotlivým strukturálním typům, lze identifikaci fází doplnit pomocí výsledků jiných publikovaných prací.

Chaim et al. [19] po ochlazení  $ZrO_2 + 4 \text{ hm. \% } Y_2O_3$  rychlosť  $1,6 \times 10^2 \text{ Ks}^{-1}$  nalezli na povrchu vzorků amorfní skelnou fázi, pod níž byla větší zrna *k-ZrO<sub>2</sub>* a hlouběji pod povrchem *t-ZrO<sub>2</sub>*. Zrna obou těchto fází byla po hranicích obalena skelnou fází, jejíž množství směrem do objemu vzorku ubývalo. Amorfní fáze po hranicích zrn byla pozorována i u Y-PSZ [20] či u dalších keramických [21] nebo

kovových materiálů [9]. V prvním případě Y-PSZ byla v amorfni formě fáze  $SiO_2$ , v případě keramických materiálů pak různé oxidy. Také v práci [7] byla popsána krystalizace 10 až 30 nm velkých krystalů  $t\text{-}ZrO_2$  vedle amorfni fáze  $SiO_2$ . Povrchněme-li tyto výsledky se strukturami na obr. 1, 3 a 5, je možno předpokládat, že nejjemnější zrna v oblasti 1 budou  $k\text{-}ZrO_2$  přecházející do  $t\text{-}ZrO_2$  s amorfni fází  $SiO_2$  po hranicích zrn. V souladu s tímto závěrem je i skutečnost, že dále od rozhraní (obr. 3) je množství amorfni fáze po hranicích zrn menší — difrakrogram 3b je blíže polykrystalické než amorfni struktuře.

V prvních vrstvách nejblíže podložce nebyla pomocí elektronové difrakce identifikována monokrystalická fáze přesto, že rentgenovou difrakcí byl stanoven značný podíl této fáze v plazmově naneseném nástřiku. Důvod zřejmě leží v různé rychlosti ochlazování — v první vrstvě je tato rychlosť vysoká, takže ve struktuře zůstanou „zakaleny“ vysokoteplotní fáze  $ZrO_2$  — kubická a tetragonální o velikosti častic řádově 0,01  $\mu m$ . Jak ukazuje Kroupa [22], transformace  $t \rightarrow m$  je závislá i na velikosti častic. Častic s průměrem menším, než je kritický ( $\sim 0,1\text{--}1 \mu m$ ) zůstanou ve fázi  $t$  i při pokojové teplotě. Dále v objemu rozstřiku jsou oblasti s relativně pomalou rychlosťí ochlazování, jejímž výsledkem jsou zrna o několik řádů větší než v místech rychlého odvodu tepla a podmínky pro transformaci  $t \rightarrow m$  jsou příznivé. V celém objemu vrstvy pak není překvapující poměrně velký podíl  $m\text{-}ZrO_2$  fáze.

Souvislost mezi morfologií mikrostruktury a způsobem odvodu tepla při tuhnutí je známa z mnoha případů (např. lité struktury). Získané výsledky ukazují, že podmínky tuhnutí, které rozhodují o velikosti a tvaru zrn při krystalizaci, jsou v různých částech jednoho rozstřiku rozdílné. Předpokládejme, že rozdíly nejsou v procesu nukleace, ale především ve stupni podchlazení, a tedy mechanismu odvodu tepla. Dále předpokládejme, že teplo akumulované v natavené částici není po dopadu na podložku odváděno sáláním ani volnou konvekcí do vzduchu, ale přechází převážně vedením do kovové podložky s výrazně větší tepelnou vodivostí. Za těchto předpokladů mikrostruktura může naznačit pravděpodobný způsob odvodu tepla a postup tuhnutí rozstřiku.

Po dotyku natavené částice s podložkou pravděpodobně ztuhla velice rychle nejdříve oblast 1 (obr. 2) za vzniku jemných mikrokrytalických zrn. Pak následovalo tuhnutí a krystalizace zrn v oblasti 2. Z typu mikrostruktury je možno předpokládat, že teplo bylo do podložky odváděno částečně přímo přes rozhraní a částečně přes již ztuhlou oblast 1, a tedy celkově o něco pomaleji než z první oblasti, čemuž odpovídá i větší velikost zrn. Z oblasti 3 proběhl odvod tepla především přes již zkrystalizovanou oblast 1 a tenkou vrstvou oblasti 2, jak naznačuje přednostní orientace pásů zrn [23]. Odvod tepla kolmo na tyto pásy přímo k rozhraní byl zřejmě zanedbatelný. Přesto je rychlosť tuhnutí v této oblasti ještě poměrně značná, jak lze usoudit z velikosti zrn. Druhá skupina zrn v oblasti 3 (vpravo) vznikala za odvodu tepla přes celou oblast 2, a tedy s menším podchlazením. Oblast 4 chladne již poměrně velice pomalu, protože teplo je odváděno přes již ztuhlé části rozstřiku s výrazně menší tepelnou vodivostí, a proto vznikají řádově větší zrna než v ostatních oblastech rozstřiku. Podle rozdělení Safai a Hermana [15] by mikrostruktura na obr. 1 byla částí okraje rozstřiku a teplo by mělo být odváděno pouze přes jádro. Z uspořádání mikrostruktury je však zřejmé, že se i v tomto okraji vytvořil „most“, přes který je teplo lokálně odváděno do podložky, zbytek okraje rozstřiku pak tuhne odvodem tepla přes tuto již lokálně ztuhlou oblast a ne pouze přes jádro rozstřiku. Výsledkem je nesymetrická struktura s výskytem jak amorfni, tak mikrokrytalické i krytalické fáze.

Na obr. 3 je naproti tomu zachycena mikrostruktura symetrická, která je typická pro jádro rozstřiku. Protože jde o rozstřik ve vrstvě dále od podkladu, teplo bylo odváděno do vrstvy tvořené již dříve dopadlými rozstřiky, tzn. materiálu s výrazně nižší tepelnou vodivostí. Tuhnutí je sice rovnoměrné, ale pomalejší a vzniká převážně mikrokryštallická struktura.

Konečně obr. 5 připomíná výsledky Heuera [24] citované Kroupou [22], kdy částečně stabilizovaný  $ZrO_2$  byl zpočátku rychle ochlazen a poté určitou dobu žihán u spodní hranice dvoufázové oblasti  $k + t$ . Výsledkem byla velká zrna fáze  $k$  s malými precipitáty fáze  $t$  výjimečně  $m$ . Analogicky je možno předpokládat, že po počátečním rychlém ochlazení rozstřiku z obr. 5 je další ochlazování zpomalené novou vrstvou teplejšího nástřiku a při zvýšené teplotě z matrice velkého zrna precipitují velice jemné krystalky druhé fáze, přičemž z mezirovinných vzdáleností na difraktogramu nebylo možno rozlišit mezi kubickou a tetragonální fází.

Přítomnost trhlinek v  $ZrO_2$  keramice byla pozorována mnoha autory a je připisována objemovým změnám při transformaci  $t$  na  $m$  fázi [22, 25, 26]. Původ námi pozorovaných trhlinek je nejasný. Pokud by byly důsledkem fázové transformace, musela by být elektronovou difrací detekována  $m$  fáze, avšak ta ve sledovaných vzorech nebyla zjištěna. Zajímavá je i skutečnost, že všechny viditelné mikrotrhlinky probíhají interkryštallicky, zatímco v uvedené literatuře se předpokládá i transkryštallické šíření. Otázkou proto je, zda tyto trhlinky nevznikly spíše při manipulaci s tenkou fólií.

## ZÁVĚRY

Transmisní elektronová mikroskopie tenké fólie, připravené z příčného řezu nástříku  $ZrSiO_4$  na ocelové podložce, přinesla tyto poznatky:

- ve fólii byly nalezeny oblasti amorfní, mikrokryštallické i kryystalické struktury, což znamená, že rychlosti tuhnutí i uvnitř jedné kapky — rozstřiku se mění v širokých mezích především v závislosti na lokálních podmírkách odvodu tepla, které jsou značně složité;
- největší podíl amorfní struktury byl zjištěn v rozstřiku z první vrstvy na podložce; díky dokonalému rozhraní rozstřik/podložka a vysoké tepelné vodivosti podložky zde rychlosť ochlazování dosáhla potřebné kritické hodnoty;
- mikrokryštallické oblasti s velikostí krystalitů řádově v 10 až 100 nm byly zjištěny i v rozstřicích z další vrstvy nástříku;
- poměry při chladnutí jednoho rozstřiku v první vrstvě jsou složitější, než dosud předpokládala teorie o odvodu tepla pouze přes jádro rozstřiku. Mostů s přímým odvodem tepla se může vytvořit více a jejich počet je závislý na lokálních podmírkách přestupu tepla a na velikosti styčné plochy rozstřik/podložka;
- $ZrSiO_4$  se při nástříku rozkládá na skelnou složku  $SiO_2$  a  $ZrO_2$ , který se objevuje ve všech třech kryystalických modifikacích; monokryštallická fáze  $ZrO_2$  však nebyla zjištěna v mikrostruktuře první vrstvy;  $SiO_2$  je pravděpodobně uložen na hranicích zrn  $ZrO_2$ .

## Poděkování

Autoři děkují Ing. J. Vávrovi, CSc., z EÚ CEFV SAV Bratislava za přípravu tenké fólie a pomoc při získání výsledků a Ing. J. Dubskému, CSc., z ÚFP ČSAV, za provedení rentgenových analýz.

**Literatura**

- [1] Nicoll A. R., Demus H., Engel R.: Thin Solid Films, **118**, 317 (1984).
- [2] Proceedings "Plasma Processing and Synthesis of Materials", ed. J. Szekely, D. Apelian, North-Holand, Mater. Proceeding, Vol. 30, 1984.
- [3] Bartuška M., Zvěřina K.: Strojírenství, **23**, 675 (1973).
- [4] Krauth A., Meyer H.: Berichte Deutsch. Keram. Gesellschaft, **42**, 61 (1965).
- [5] Bartuška M., Zvěřina K.: Tonind. Ztg., **97**, 175 (1973).
- [6] Mukerji J., Das P. K., Chakraborty D.: Am. Ceram. Soc. Bulletin, **66**, 1616 (1987).
- [7] Yoshimura M., Kaneko M., Somiya S.: Journal de Physique, Suppl. an no. 2, **47**, Cl-473 (1986).
- [8] Raus P.: Ústavní zpráva ÚFP ČSAV, Praha 1986.
- [9] Giessen B. C., Madhava N. M., Murphy R. J., Ray R., Surette J.: Metall. Trans., **8A**, 364 (1977).
- [10] Mc Pherson R.: Thin Solid Films, **83**, 297 (1981).
- [11] Bartuška M., Zvěřina K.: Acta technica ČSAV, **1**, 101 (1975).
- [12] Bolotina N. P., Argunova T. V., Tjunin V. D.: Porošk. metallurgija, **11**, 36 (1986).
- [13] Luthra K. L., Hall E. L.: Oxidation of Metals, **26**, 385 (1986).
- [14] Borisov J. S., Oliker V. E., Koržik V. N., Kunickij J. A., Kvasjuk A. D., Revo S. L.: Porošk. metallurgija, **11**, 22 (1987).
- [15] Safai S., Herman H.: Thin Solid Films, **45**, 295 (1977).
- [16] Geszti O., Gozsola L., Seyfried E.: Thin Solid Films, **136**, 135 (1986).
- [17] Raus P.: nepublikovaná práce, ÚFM ČSAV Praha (1983).
- [18] Apelian D., Paliwal M., Smith R. W., Schilling W. F.: Internat. Metals Reviews, **28**, 271 (1983).
- [19] Chain R., Brandon D. G., Heuer A. H.: Acta Metall., **34**, 1933 (1986).
- [20] Mecartney M. L.: Journ. Amer. Ceram. Soc., **70**, 54 (1987).
- [21] Clarke D. R.: Journ. Amer. Ceram. Soc., **70**, 15 (1987).
- [22] Kroupa F.: Čes. čas. fyz. **37A**, 552 (1987).
- [23] Pluhař J., Koritta J.: *Strojírenské materiály*, SNTL, Praha, str. 52 (1966).
- [24] Heuer A. H. in „*Science and technology of zirconia I*“, Advances in Ceramics 3, Amer. Ceram. Soc., str. 98, Columbus 1981.
- [25] Heuer A. H.: Journ. Amer. Ceram. Soc., **70**, 689 (1987).
- [26] Stevens R.: *Zirconia Ceramics*, Magnesium Electron Ltd., str. 18, Twickenham 1986.

**ИЗУЧЕНИЕ ПЛАЗМЕННОГО НАПЫЛЕНИЯ ZrSiO<sub>4</sub> С ПОМОЩЬЮ ТРАНСМИССИОННОЙ ЭЛЕКТРОННОЙ МИКРОСКОПИИ**

Павел Райс, Павел Храска

*Институт физики плазмы ЧСАН, 182 11 Прага 8*

Для напыления поропика ZrSiO<sub>4</sub> на стальное основание была использована стабилизованная водой плазменная установка PAL 160-2, которая работает при атмосферном давлении. Общая толщина покрытия, которое состоит из нескольких слоев напыленных частиц поропика (= затвердевших капель, разбрзгов) была около 280 μm. Из поперечного сечения системы напыление/основание с использованием прибора и метода, описанного в [16], была приготовлена тонкая фольга для ТЕМ. Фазовый состав полного слоя определен рентгенографической дифракцией.

Разбрзг из первого слоя на основании (рис. 1) можно разделить на несколько структурных типов (рис. 2): микрокристаллические области ZrO<sub>2</sub> с маленькими зернами 25–50 нм (1) и большими зернами 50–100 нм (2); зерна ZrO<sub>2</sub>, упорядоченные в полосы, отделенные стекловидной фазой (3), и на несколько порядков больший кристаллический остаток разбрзга (4). Тип структуры зависит от скорости охлаждения, которая в свою очередь сильно зависит от качества разграничения разбрзг/основание, от которого зависит механизм отвода тепла.

Существование аморфной фазы подтверждено с помощью электронной дифракции, и эта фаза была рентгеновской дифракцией опознана как SiO<sub>2</sub>. Ее наибольшее количество находится в первом напыленном слое. Принципиально подобные структурные области, как на рис. 1, могут быть найдены также в разбрзге из напыленных слоев

дальше от разграничения (рис. 3 и 4). На рис. 5 показана переходная структура с кристаллизацией очень мелких частиц из почти аморфной матрицы, подобная структуре отжигаемых металлических стекол.

В напылении были определены все три модификации  $ZrO_2$ , но моноклинная фаза (м) не была обнаружена в микрокристаллической области первого слоя.

*Рис. 1. Плазменное покрытие  $ZrSiO_4$  при разграничении с железным основанием:*

- а) трансмиссионная электронограмма части края разбрзга;*
- б) соответствующая дифракционная картина.*

*Рис. 2. Схематическое изображение разных структурных областей и вероятных направлений отвода тепла из разбрзга на рис. 1. Значение номеров приведено в русском резюме.*

*Рис. 3. Плазменное покрытие  $ZrSiO_4$  в месте дальше от разграничения с основанием:*

- а) трансмиссионная электронограмма ядра разбрзга;*
- б) соответствующая дифракционная картина.*

*Рис. 4. Схематическое изображение разных структурных областей и вероятных направлений отвода тепла из разбрзга на рис. 3. Значение номеров приведено в русском резюме.*

*Рис. 5. а) Трансмиссионная электронограмма очень мелкой микрокристаллической области;*

- б) соответствующая дифракционная картина.*

## TRANSMISSION ELECTRON MICROSCOPE STUDY OF A PLASMA-SPRAYED ZIRCON COATING

Pavel Raus, Pavel Chráska

*Institute of Plasma Physics, Czechoslovak Academy of Science, 182 11 Prague 8*

The water stabilised plasma torch PAL 160-2 working in air was used for spray deposition of  $ZrSiO_4$  powder on a steel substrate. The overall thickness of the coating, consisting of several layers of splats (solidified flattened droplets), was about 280  $\mu m$ . Using the equipment and method described in [16] a thin foil from the "deposit/substrate" cross-section was prepared for TEM and SAD. Phase composition of the bulk deposit was determined by XRD.

A splat from the first layer on the substrate (Fig. 1) can be divided into several structural types (Fig. 2): microcrystalline regions of  $ZrO_2$  with small grains 25—50  $\mu m$  (1) and larger grains 50—100 nm (2);  $ZrO_2$  grains arranged into bands separated by a glassy phase (3) and a crystalline residue of the splat (4) larger by several orders of magnitude. The type of the structure depends on the cooling rate which, in turn, strongly depends on the quality of the splat/substrate interface governing the heat transfer mechanism. The existence of an amorphous phase was proved by SAD and identified by XRD as  $SiO_2$  and its largest amount was in the first deposited layer. Structural regions basically similar to those in Figs. 1, 2 can be found even in splats from a deposited layer farther from the interface (Figs. 3, 4). Fig. 5 represents a transient structure of microcrystals precipitated from an almost amorphous matrix resembling the structure of annealed metallic glasses.

All the three modifications of  $ZrO_2$  were detected in the coating but the monoclinic phase (m) was not present in the microcrystalline region of the first layer.

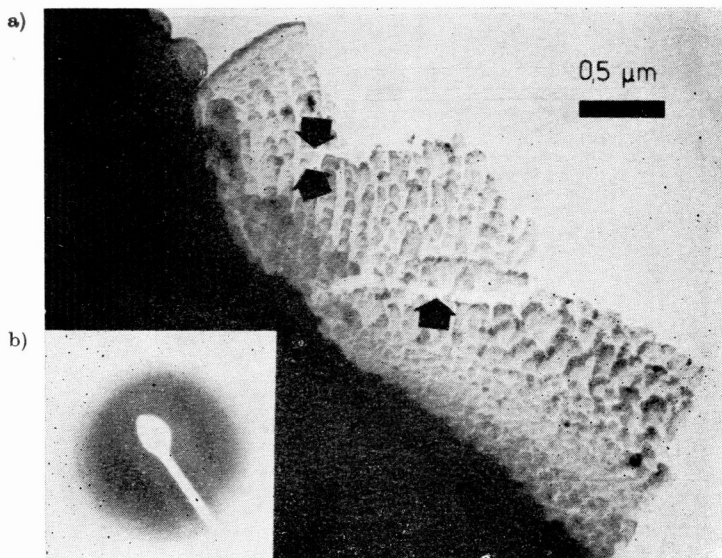
*Fig. 1. Plasma-sprayed coating at the interface with Fe-substrate: а) TEM micrograph of the rim part of a splat; б) SADP of а).*

*Fig. 2. Schematic representation of various structural regions and probable directions of heat transfer in the splat from Fig. 1 (for meaning of numbers see the text of the English abstract).*

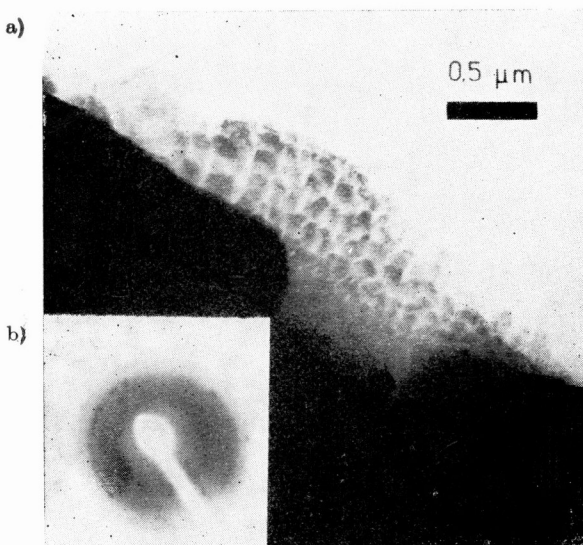
*Fig. 3. Plasma-sprayed coating farther from the interface with Fe-substrate: а) TEM micrograph of the core section of one splat; б) SADP from а).*

*Fig. 4. Schematic representation of various structural regions and probable directions of heat transfer in the splat from Fig. 3 (for meaning of numbers see text of the English abstract).*

*Fig. 5. а) TEM micrograph of the very fine microcrystalline regions; б) SADP of а).*

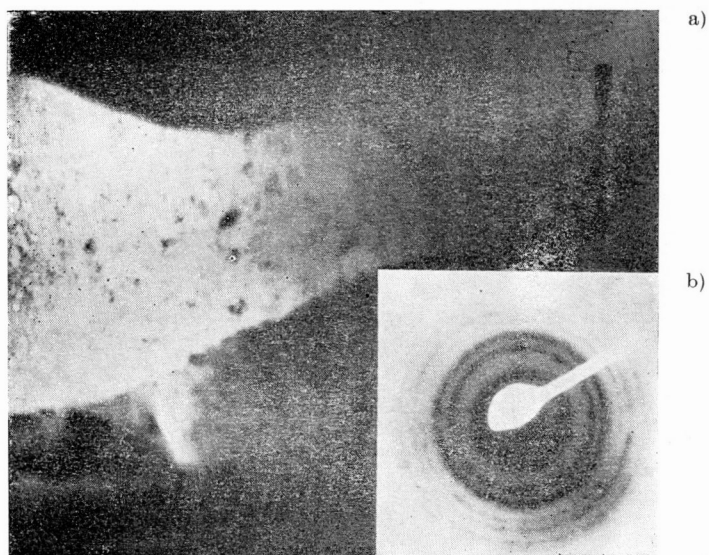


Obr. 1. Plazmově nanesená vrstva u rozhraní s Fe podložkou; a) TEM snímek části okraje rozstříku, b) příslušný difrakční obrazec.



Obr. 3. Plazmově nanesená vrstva v místě dále od rozhraní s podložkou; a) TEM snímek jádra rozstříku, b) příslušný difrakční obrazec.

*P. Raus, P. Chráska:*



*Obr. 5. a) TEM snímek velice jemné mikrokryštatické oblasti; b) příslušný difrakční obrazec.*